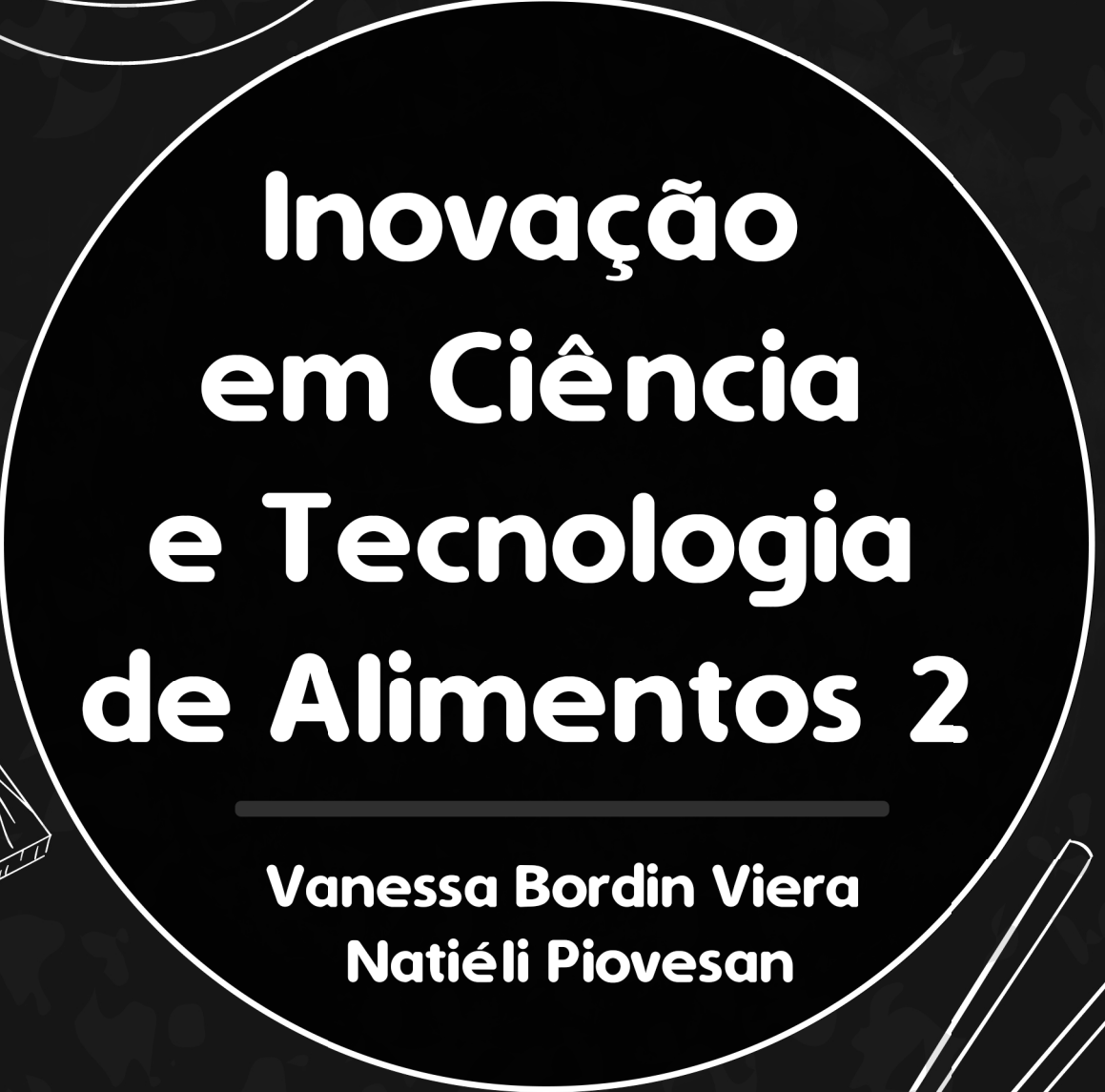


Inovação em Ciência e Tecnologia de Alimentos 2

**Vanessa Bordin Viera
Natiéli Piovesan**

Atena
Editora
Ano 2019



Inovação em Ciência e Tecnologia de Alimentos 2

**Vanessa Bordin Viera
Natiéli Piovesan**

Atena
Editora
Ano 2019

2019 by Atena Editora
Copyright © Atena Editora
Copyright do Texto © 2019 Os Autores
Copyright da Edição © 2019 Atena Editora
Editora Chefe: Profª Drª Antonella Carvalho de Oliveira
Diagramação: Natália Sandrini
Edição de Arte: Lorena Prestes
Revisão: Os Autores



Todo o conteúdo deste livro está licenciado sob uma Licença de Atribuição Creative Commons. Atribuição 4.0 Internacional (CC BY 4.0).

O conteúdo dos artigos e seus dados em sua forma, correção e confiabilidade são de responsabilidade exclusiva dos autores. Permitido o download da obra e o compartilhamento desde que sejam atribuídos créditos aos autores, mas sem a possibilidade de alterá-la de nenhuma forma ou utilizá-la para fins comerciais.

Conselho Editorial

Ciências Humanas e Sociais Aplicadas

Profª Drª Adriana Demite Stephani – Universidade Federal do Tocantins
Prof. Dr. Álvaro Augusto de Borba Barreto – Universidade Federal de Pelotas
Prof. Dr. Alexandre Jose Schumacher – Instituto Federal de Educação, Ciência e Tecnologia de Mato Grosso
Prof. Dr. Antonio Carlos Frasson – Universidade Tecnológica Federal do Paraná
Prof. Dr. Antonio Isidro-Filho – Universidade de Brasília
Prof. Dr. Constantino Ribeiro de Oliveira Junior – Universidade Estadual de Ponta Grossa
Profª Drª Cristina Gaio – Universidade de Lisboa
Prof. Dr. Deyvison de Lima Oliveira – Universidade Federal de Rondônia
Prof. Dr. Edvaldo Antunes de Faria – Universidade Estácio de Sá
Prof. Dr. Eloi Martins Senhora – Universidade Federal de Roraima
Prof. Dr. Fabiano Tadeu Grazioli – Universidade Regional Integrada do Alto Uruguai e das Missões
Prof. Dr. Gilmei Fleck – Universidade Estadual do Oeste do Paraná
Profª Drª Ivone Goulart Lopes – Istituto Internazionale delle Figlie di Maria Ausiliatrice
Prof. Dr. Julio Cândido de Meirelles Junior – Universidade Federal Fluminense
Profª Drª Keyla Christina Almeida Portela – Instituto Federal de Educação, Ciência e Tecnologia de Mato Grosso
Profª Drª Lina Maria Gonçalves – Universidade Federal do Tocantins
Profª Drª Natiéli Piovesan – Instituto Federal do Rio Grande do Norte
Prof. Dr. Marcelo Pereira da Silva – Universidade Federal do Maranhão
Profª Drª Miranilde Oliveira Neves – Instituto de Educação, Ciência e Tecnologia do Pará
Profª Drª Paola Andressa Scortegagna – Universidade Estadual de Ponta Grossa
Profª Drª Rita de Cássia da Silva Oliveira – Universidade Estadual de Ponta Grossa
Profª Drª Sandra Regina Gardacho Pietrobon – Universidade Estadual do Centro-Oeste
Profª Drª Sheila Marta Carregosa Rocha – Universidade do Estado da Bahia
Prof. Dr. Rui Maia Diamantino – Universidade Salvador
Prof. Dr. Urandi João Rodrigues Junior – Universidade Federal do Oeste do Pará
Profª Drª Vanessa Bordin Viera – Universidade Federal de Campina Grande
Prof. Dr. Willian Douglas Guilherme – Universidade Federal do Tocantins

Ciências Agrárias e Multidisciplinar

Prof. Dr. Alan Mario Zuffo – Universidade Federal de Mato Grosso do Sul
Prof. Dr. Alexandre Igor Azevedo Pereira – Instituto Federal Goiano
Profª Drª Daiane Garabeli Trojan – Universidade Norte do Paraná
Prof. Dr. Darllan Collins da Cunha e Silva – Universidade Estadual Paulista
Profª Drª Diocléa Almeida Seabra Silva – Universidade Federal Rural da Amazônia
Prof. Dr. Fábio Steiner – Universidade Estadual de Mato Grosso do Sul
Profª Drª Gislene Santos de Souza – Universidade Federal do Recôncavo da Bahia
Prof. Dr. Jorge González Aguilera – Universidade Federal de Mato Grosso do Sul
Prof. Dr. Júlio César Ribeiro – Universidade Federal Rural do Rio de Janeiro
Profª Drª Raissa Rachel Salustriano da Silva Matos – Universidade Federal do Maranhão
Prof. Dr. Ronilson Freitas de Souza – Universidade do Estado do Pará
Prof. Dr. Valdemar Antonio Paffaro Junior – Universidade Federal de Alfenas

Ciências Biológicas e da Saúde

Prof. Dr. Benedito Rodrigues da Silva Neto – Universidade Federal de Goiás
Prof. Dr. Edson da Silva – Universidade Federal dos Vales do Jequitinhonha e Mucuri
Profª Drª Elane Schwinden Prudêncio – Universidade Federal de Santa Catarina
Prof. Dr. Gianfábio Pimentel Franco – Universidade Federal de Santa Maria
Prof. Dr. José Max Barbosa de Oliveira Junior – Universidade Federal do Oeste do Pará
Profª Drª Magnólia de Araújo Campos – Universidade Federal de Campina Grande
Profª Drª Natiéli Piovesan – Instituto Federal do Rio Grande do Norte
Profª Drª Vanessa Lima Gonçalves – Universidade Estadual de Ponta Grossa
Profª Drª Vanessa Bordin Viera – Universidade Federal de Campina Grande

Ciências Exatas e da Terra e Engenharias

Prof. Dr. Adélio Alcino Sampaio Castro Machado – Universidade do Porto
Prof. Dr. Alexandre Leite dos Santos Silva – Universidade Federal do Piauí
Profª Drª Carmen Lúcia Voigt – Universidade Norte do Paraná
Prof. Dr. Eloi Rufato Junior – Universidade Tecnológica Federal do Paraná
Prof. Dr. Fabrício Menezes Ramos – Instituto Federal do Pará
Prof. Dr. Juliano Carlo Rufino de Freitas – Universidade Federal de Campina Grande
Profª Drª Neiva Maria de Almeida – Universidade Federal da Paraíba
Profª Drª Natiéli Piovesan – Instituto Federal do Rio Grande do Norte
Prof. Dr. Takeshy Tachizawa – Faculdade de Campo Limpo Paulista

**Dados Internacionais de Catalogação na Publicação (CIP)
(eDOC BRASIL, Belo Horizonte/MG)**

I58 Inovação em ciência e tecnologia de alimentos 2 [recurso eletrônico] /
Organizadoras Vanessa Bordin Viera, Natiéli Piovesan. – Ponta
Grossa, PR: Atena Editora, 2019. – (Inovação em Ciência e
Tecnologia de Alimentos; v. 2)

Formato: PDF

Requisitos de sistema: Adobe Acrobat Reader.

Modo de acesso: World Wide Web.

Inclui bibliografia.

ISBN 978-85-7247-699-7

DOI 10.22533/at.ed.997190910

1. Alimentos – Análise. 2. Alimentos – Indústria. 3. Tecnologia de
alimentos. I. Viera, Vanessa Bordin. II. Piovesan, Natiéli. III. Série.

CDD 664.07

Elaborado por Maurício Amormino Júnior – CRB6/2422

Atena Editora
Ponta Grossa – Paraná - Brasil
www.atenaeditora.com.br
contato@atenaeditora.com.br

APRESENTAÇÃO

O e-book Inovação em Ciência e Tecnologia de Alimentos – Vol 1, 2 e 3, traz um olhar integrado da Ciência e Tecnologia de Alimentos. A presente obra é composta por 86 artigos científicos que abordam assuntos de extrema importância relacionados às inovações na área de Ciência e Tecnologia de alimentos.

No volume 1 o leitor irá encontrar 28 artigos com assuntos que abordam a inovação no desenvolvimento de novos produtos como sucos, cerveja, pães, *nibs*, doce de leite, produtos desenvolvidos a partir de resíduos, entre outros. O volume 2 é composto por 34 artigos desenvolvidos a partir de análises físico-químicas, sensoriais, microbiológicas de produtos, os quais tratam de diversos temas importantes para a comunidade científica. Já o volume 3, é composto por 25 artigos científicos que expõem temas como biotecnologia, nutrição e revisões bibliográficas sobre toxinfecções alimentares, probióticos em produtos cárneos, entre outros.

Diante da importância em discutir as inovações na Ciência e Tecnologia de Alimentos, os artigos relacionados neste e-book (Vol. 1, 2 e 3) visam disseminar o conhecimento e promover reflexões sobre os temas. Por fim, desejamos a todos uma excelente leitura!

Vanessa Bordin Viera

Natiéli Piovesan

SUMÁRIO

CAPÍTULO 1	1
ANALISE DO TEOR DE HIDROXIMETILFURFURAL DO MEL DE <i>Melipona flavolineata</i> NO DECURSO DO PROCESSO DE DESUMIDIFICAÇÃO POR AQUECIMENTO	
Adriane Gomes da Silva	
Marcos Enê Chaves Oliveira	
Mozaniel Santana de Oliveira	
Cláudio José Reis de Carvalho	
Daniel Santiago Pereira	
DOI 10.22533/at.ed.9971909101	
CAPÍTULO 2	6
ATIVIDADE ANTIOXIDANTE, ANTIFÚNGICA E ANTIBACTERIANA DO COGUMELO <i>Agaricus sylvaticus</i> : UMA AVALIAÇÃO <i>IN VITRO</i>	
Naiane Rodrigues Ferreira	
Joice Vinhal Costa Orsine	
Thaís Diniz Carvalho	
Abdias Rodrigues da Mata Neto	
Milton Luiz da Paz Lima	
Maria Rita Carvalho Garbi Novaes	
DOI 10.22533/at.ed.9971909102	
CAPÍTULO 3	18
AUTOCHTHONHUS MICROBIOTA OF THE COCONUT SPROUT (<i>Cocos nucifera</i> L.: Arecaceae)	
Anna Luiza Santana Neves	
Amanda Rafaela Carneiro de Mesquita	
Edleide Freitas Pires	
DOI 10.22533/at.ed.9971909103	
CAPÍTULO 4	26
AVALIAÇÃO DA QUALIDADE MICROBIOLÓGICA E DETERMINAÇÃO DE PROPRIEDADES FÍSICO-QUÍMICAS DE QUEIJO COLONIAL	
Janaina Schuh	
Cecília Alice Mattielo	
Mariane Ferenz	
Marina Ribeiros	
Silvani Verruck	
Nei Fronza	
Álvaro Vargas Júnior	
Fabiana Bortolini Foralosso	
André Thaler Neto	
Sheila Mello da Silveira	
DOI 10.22533/at.ed.9971909104	

CAPÍTULO 5 **36**

AVALIAÇÃO DE PARÂMETROS DE QUALIDADE DE DOCE CREMOSO, GELEIAS, CHUTNEY E RELISH DE VEGETAIS

Felipe de Lima Franzen
Tatiane Codem Tonetto
Marialene Manfio
Janine Farias Menegaes
Marlene Terezinha Lovatto
Mari Silvia Rodrigues de Oliveira

DOI 10.22533/at.ed.9971909105

CAPÍTULO 6 **45**

AVALIAÇÃO DO MÉTODO DE VIDA DE PRATELEIRA ACELERADA EM PÃO DE ALHO

Thainá Rodrigues Stella
Jessica Basso Cavalheiro
Jéssica Loraine Duenha Antigo
Letícia Misturini Rodrigues
Jane Martha Graton Mikcha
Samiza Sala Michelan
Grasiele Scaramal Madrona

DOI 10.22533/at.ed.9971909106

CAPÍTULO 7 **54**

AVALIAÇÃO FÍSICO-QUÍMICA DE CAFÉS SOLÚVEIS COMERCIAIS

Lívia Alves Barroso
Iara Lopes Lemos
João Vinícios Wirbitzki da Silveira
Tatiana Nunes Amaral

DOI 10.22533/at.ed.9971909107

CAPÍTULO 8 **59**

AVALIAÇÃO MICROBIOLÓGICA DAS ETAPAS DE PRODUÇÃO DE ALIMENTO INSTANTÂNEO PRODUZIDO A PARTIR DE RESÍDUOS DE PEIXES

Daniela Fernanda Lima de Carvalho Cavenaghi
Aurélia Regina Araújo da Silva
Bruna Rosa dos Anjos
Aryadne Karoline Carvalho Santiago
Carolina Balbino Garcia dos Santos
Wander Miguel de Barros
Luzilene Aparecida Cassol

DOI 10.22533/at.ed.9971909108

CAPÍTULO 9 **65**

CARACTERIZAÇÃO DAS PROPRIEDADES TECNOLÓGICAS DA FARINHA DE ORA-PRO-NÓBIS (*Pereskia aculeata mil.*)

Márlia Barbosa Pires
Ana Karoline Silva dos Santos
Keila Garcia da Silva

DOI 10.22533/at.ed.9971909109

CAPÍTULO 10 77

CARACTERIZAÇÃO FÍSICO-QUÍMICA E MICROBIOLÓGICA DE LARVAS DE TENÉBRIOS (*Tenebrio molitor* L.) CRIADO PARA CONSUMO HUMANO

Daniela Fernanda Lima de Carvalho Cavenaghi
Juracy Caldeira Lins Junior
Juliana Maria Amabile Duarte
Wander Miguel de Barros
Neidevônio Realino de Jesus

DOI 10.22533/at.ed.99719091010

CAPÍTULO 11 85

CARACTERIZAÇÃO FÍSICO-QUÍMICAS DE DIFERENTES VARIEDADES DE OLIVAS PRODUZIDAS NA UNIVERSIDADE FEDERAL DOS VALES DO JEQUITINHONHA E MUCURI

Lívia Alves Barroso
Iara Lopes Lemos
Gustavo de Castro Barroso
Tatiana Nunes Amaral

DOI 10.22533/at.ed.99719091011

CAPÍTULO 12 90

COMPARAÇÃO DAS CARACTERÍSTICAS FÍSICO-QUÍMICAS E ATIVIDADE ANTIOXIDANTE DE FRUTAS ORGÂNICAS E CONVENCIONAIS

Júlia Montenegro
Renata dos Santos Pereira
Joel Pimentel Abreu
Anderson Junger Teodoro

DOI 10.22533/at.ed.99719091012

CAPÍTULO 13 98

COMPOSIÇÃO QUÍMICA E ATIVIDADE HERBICIDA (FITOTÓXICA) DO ÓLEO ESSENCIAL DE *Lippia thymoides* Mart. & Schauer (VERBENACEAE)

Sebastião Gomes Silva
Renato Araújo da Costa
Jorddy Neves da Cruz
Mozaniel Santana de Oliveira
Lidiane Diniz do Nascimento
Wanessa Almeida da Costa
José Francisco da Silva Costa
Daniel Santiago Pereira
Antônio Pedro da Silva Sousa Filho
Eloisa Helena de Aguiar Andrade

DOI 10.22533/at.ed.99719091013

CAPÍTULO 14 108

CONTEÚDO DE COMPOSTOS FENÓLICOS EM EXTRATOS DE PÉTALAS DE ROSA (*ROSA X GRANDIFLORA* HORT.), OBTIDOS POR EXTRAÇÃO COM ULTRASSOM

Felipe de Lima Franzen
Juciane Prois Fortes
Jéssica Righi da Rosa
Giane Magrini Pigatto
Janine Farias Menegaes
Mari Silvia Rodrigues de Oliveira

DOI 10.22533/at.ed.99719091014

CAPÍTULO 15 116

DESIDRATAÇÃO DE FRUTAS PELO MÉTODO DE CAMADA DE ESPUMA

Heloisa Alves de Figueiredo Sousa
Josemar Gonçalves Oliveira Filho
Edilsa Rosa da Silva
Ivanete Alves de Santana Rocha
Rosenaide Dias Braga de Sousa
Isac Ricardo Rodrigues da Silva
Diana Fernandes de Almeida
Helloyse Eugênia da Rocha Alencar
Mariana Buranelo Egea

DOI 10.22533/at.ed.99719091015**CAPÍTULO 16** 128EFEITO DE TRÊS MÉTODOS DE ABATE SOBRE OS INDICADORES DE QUALIDADE DA CARNE DA TILÁPIA (*Oreochromis niloticus*) RESFRIADA

Elaine Cristina Batista dos Santos
Paulo Roberto Campagnoli de Oliveira Filho
Elisabete Maria Macedo Viegas

DOI 10.22533/at.ed.99719091016**CAPÍTULO 17** 140EFEITOS CITOHEMATOLOGICOS DA SUPLEMENTAÇÃO COM AGARICUS BRASILIENSIS NA CRIAÇÃO DE TILÁPIAS DO NILO (*OREOCHROMIS NILOTICUS*)

Flávio Ferreira Silva
Wiliam César Bento Regis

DOI 10.22533/at.ed.99719091017**CAPÍTULO 18** 152EFEITOS DA SUPLEMENTAÇÃO PROFILATICA COM AGARICUS BRASILIENSIS EM DE TILÁPIAS DO NILO (*OREOCHROMIS NILOTICUS*) DESAFIADAS POR *AEROMONAS HYDROPHILA*

Flávio Ferreira Silva
Wiliam César Bento Regis

DOI 10.22533/at.ed.99719091018**CAPÍTULO 19** 160EFEITOS DE DIFERENTES MÉTODOS DE COCÇÃO NAS CARACTERÍSTICAS NUTRICIONAIS E FÍSICO-QUÍMICAS DE CENOURAS (*Daucus carota L.*) PRONTAS PARA CONSUMO

Fabiana Bortolini Foralosso
Cauana Munique Haas
Maria Eduarda Peretti
Alvaro Vargas Júnior
Sheila Mello da Silveira
Nei Fronza

DOI 10.22533/at.ed.99719091019**CAPÍTULO 20** 172

ERVAS AROMÁTICAS E ESPECIARIAS COMO FONTE DE ANTIOXIDANTES NATURAIS

Aline Sobreira Bezerra
Angélica Inês Kaufmann
Maiara Cristíni Maleico
Mariana Sobreira Bezerra

DOI 10.22533/at.ed.99719091020

CAPÍTULO 21 181

EVALUATION OF THE PROCESS OF DESPECTINIZATION OF CUPUAÇU PULP (*Theobroma grandiflorum*)

Luana Kelly Baltazar da Silva
Lenice da Silva Torres
Tatyane Myllena Souza da Cruz
Layana Natália Carvalho de Lima
Rayssa Silva dos Santos
Adriano César Calandrini Braga

DOI 10.22533/at.ed.99719091021

CAPÍTULO 22 188

EXTRAÇÃO ASSISTIDA POR ULTRASSOM PARA OBTENÇÃO DE COMPOSTOS BIOATIVOS DE CASCA DE ATEMOIA (*Annona cherimola Mill x Annona squamosa*)

Caroline Pagnossim Boeira
Déborah Cristina Barcelos Flores
Bruna Nichelle Lucas
Claudia Severo da Rosa
Natiéli Piovesan
Francine Novack Victoria

DOI 10.22533/at.ed.99719091022

CAPÍTULO 23 197

FARELO DE MILHO: UM INGREDIENTE PARA DESENVOLVIMENTO DE PRODUTOS E PROCESSOS ALIMENTÍCIOS

Tainara Leal de Sousa
Milena Figueiredo de Sousa
Rafaiane Macedo Guimarães
Adrielle Borges de Almeida
Mariana Buranelo Egea

DOI 10.22533/at.ed.99719091023

CAPÍTULO 24 209

INVESTIGAÇÃO DA ATIVIDADE ANTIMICROBIANA DE FILMES BIOPOLIMÉRICOS CONTENDO NANOPARTÍCULAS DE OURO

Maicon Roldão Borges
Carla Weber Scheeren

DOI 10.22533/at.ed.99719091024

CAPÍTULO 25 216

MALDI-TOF MS BIOSENSOR IN MICROBIAL ASSESSMENT OF KEFIR PROBIOTIC

Karina Teixeira Magalhães-Guedes
Roberta Oliveira Viana
Disney Ribeiro Dias
Rosane Freitas Schwan

DOI 10.22533/at.ed.99719091025

CAPÍTULO 26 223

META-ANÁLISE COMO FERRAMENTA PARA AVALIAÇÃO DE DIFERENTES COPRODUTOS UTILIZADOS EM DIETAS PARA COELHOS DE CORTE

Diuly Bortoluzzi Falcone
Ana Carolina Kohlrausch Klinger
Amanda Carneiro Martini
Geni Salete Pinto de Toledo
Luciana Pötter
Leila Picolli da Silva

DOI 10.22533/at.ed.99719091026

CAPÍTULO 27 228

MODELAGEM TERMODINÂMICA E DETERMINAÇÃO DA SOLUBILIDADE DO ÓLEO DE BACABA (*Oenocarpus bacaba*) E UCUÚBA (*Virola surinamensis*) COM DIÓXIDO DE CARBONO SUPERCRÍTICO

Eduardo Gama Ortiz Menezes
Jhonatas Rodrigues Barbosa
Letícia Maria Martins Siqueira
Raul Nunes de Carvalho Junior

DOI 10.22533/at.ed.99719091027

CAPÍTULO 28 237

PARÂMETROS BIOQUÍMICOS DAS SEMENTES DE CAFÉ (*Coffea arabica*, L.) EM FUNÇÃO DE DA ADUBAÇÃO NITROGENADA

Danilo Marcelo Aires dos Santos
Enes Furlani Júnior
Michele Ribeiro Ramos
Eliana Duarte Cardoso
André Rodrigues Reis

DOI 10.22533/at.ed.99719091028

CAPÍTULO 29 249

PRÉ-TRATAMENTO DE CASCAS DE AMENDOIM COM ULTRASSOM DE ALTA INTENSIDADE: EFEITO ESTRUTURAL E LIBERAÇÃO DE AÇÚCARES

Tiago Carregari Polachini
Antonio Mulet
Juan Andrés Cárcel
Javier Telis-Romero

DOI 10.22533/at.ed.99719091029

CAPÍTULO 30 264

QUALIDADE DA FIBRA DO ALGODEIRO (*Gossypium hirsutum* L.) EM FUNÇÃO DA ADUBAÇÃO FOLIAR

Danilo Marcelo Aires dos Santos
Michele Ribeiro Ramos
Bruna Gonçalves Monteiro
Enes Furlani Júnior
Anderson Barbosa Evaristo
Marisa Campos Lima
Gustavo Marquardt
Geovana Alves Santos
Letícia Marquardt

DOI 10.22533/at.ed.99719091030

CAPÍTULO 31**274**

RESULTADOS A PARTIR DE EQUIPAMENTO PORTÁTIL E DE BAIXO CUSTO DESENVOLVIDO PARA DETECÇÃO DE ADULTERAÇÕES EM LEITE

Wesley William Gonçalves Nascimento
Mariane Parma Ferreira de Souza
Ana Carolina Menezes Mendonça Valente
Virgílio de Carvalho dos Anjos
Marco Antônio Moreira Furtado
Maria José Valenzuela Bell

DOI 10.22533/at.ed.99719091031

CAPÍTULO 32**282**

TEOR DE CAFEÍNA E RENDIMENTO DE SEMENTES DE CINCO CULTIVARES DE GUARANAZEIRO COLHIDAS EM TRÊS ESTÁGIOS DE MATURAÇÃO E SUBMETIDAS A SEIS PERÍODOS DE FERMENTAÇÃO

Lucio Pereira Santos
Lucio Resende
Enilson de Barros Silva

DOI 10.22533/at.ed.99719091032

CAPÍTULO 33**296**

VALORIZATION OF WASTE COFFEE HUSKS: RECOVERY OF BIOACTIVE COMPOUNDS USING A GREEN EXTRACTION METHOD

Ádina Lima de Santana
Gabriela Alves Macedo

DOI 10.22533/at.ed.99719091033

CAPÍTULO 34**305**

VIABILIDADE DE *BACILLUS CLAUSII*, *BACILLUS SUBTILIS* E *BACILLUS SUBTILIS* VAR NATTO EM NÉCTAR E POLPA DE CAJU

Adriana Lucia da Costa Souza
Luciana Pereira Lobato
Rafael Ciro Marques Cavalcante
Roberto Rodrigues de Souza

DOI 10.22533/at.ed.99719091034

SOBRE AS ORGANIZADORAS.....**319****ÍNDICE REMISSIVO****320**

VALORIZATION OF WASTE COFFEE HUSKS: RECOVERY OF BIOACTIVE COMPOUNDS USING A GREEN EXTRACTION METHOD

Ádina Lima de Santana

Bioprocesses Laboratory. School of Food Engineering. University of Campinas (Unicamp).

Campinas, São Paulo, Brazil.

adina.santana@gmail.com

Gabriela Alves Macedo

Bioprocesses Laboratory. School of Food Engineering. University of Campinas (Unicamp).

Campinas, São Paulo, Brazil.

macedoga@gmail.com

ext.) and antioxidant capacities for the phosphomolybdenum, and the trolox equivalent antioxidant capacity (TEAC) assays.

KEYWORDS: Biowaste, phenolic compounds, alkaloids, natural antioxidants.

1 | INTRODUCTION

The processing of coffee starts with the removal of the mature cherry from the seeds, composed of husk and beans. The beans are dried, fermented and roasted to be subsequently commercialized. The husks are commonly discharged or used for composting.

Recent researches applied the husks as sorbents for the production of biogas (DOS SANTOS et al., 2018), thermoplastic films (COLLAZO-BIGLIARDI et al., 2018), adsorbent (HERNANDEZ RODRIGUEZ et al., 2018), and substrate for the production of cellulase by solid state fermentation (CATALÁN et al., 2019)

The scientific literature on the recovery of bioactive compounds from coffee husks is scarce. For instance, (RIBEIRO et al., 2019) evaluated the effects of ultrasound and type of solvent on the total phenolic content and antioxidant capacity of the extracts and (AL-YOUSEF e AMINA, 2018) quantified the aromatic compounds from the essential oil

ABSTRACT: Coffee husks is considered a waste from the coffee processing. To the best of our knowledge, researches on the valorization of coffee husks with the use of environmentally-friendly methods is scarce. In this work, cold hydroalcoholic extraction of coffee husks was applied to recover possible bioactive compounds, based on the possibility to provide novel products with added-value, with the use of a low cost processing. Extractions with 50-65% ethanol were able to raise the maximum content of the phenolic catechin (23.09-28.39g/100gext) and alkaloid caffeine (6.99-7.41g/100gext.), associated with the highest levels of total phenolic content (3.14-3.18 gallic acid equivalent/ 100g ext.), the condensed tannins (1.05-1.25 g catechin equivalent/100g ext.), the reducing (2.65-2.81 g glucose equivalent/100g ext.) and total sugars (0.56-0.59 g sucrose/100g ext.)

extracted with a glass-Clevenger apparatus.

The probable composition of coffee husks in terms of methylxanthines and aromatic compounds may induce potential applications in food products, similarly to other plant materials. Recently, ginger waste fractions (ŠVARC-GAJIĆ et al., 2017) and the chicory roots have been showed as potential coffee replacers (WU e CADWALLADER, 2019).

In this work a low cost extraction of coffee husks based on conventional cold hydroethanolic extraction was done to detect possible bioactive compounds that contribute to the valorization of this waste fraction to attribute uses as functional food.

2 | MATERIAL AND METHODS

2.1 Raw material and reagents

Coffee husks were donated from a local farm (Campinas, Brazil). The raw material was milled using a commercial blender (BL.2.201/202, Marchesoni, São Paulo, Brazil) and sieved (25 µm screen, W.S. Tyler, Wheeling, EUA).

Ethanol (99% pure) was obtained from Éxodo Científica (Sumaré, Brazil), while Folin-Ciocalteu, 3,5-dinitrosalicylic acid (DNS), were purchased from Dinâmica (Indaiatuba, Brazil). Methanol, hydrochloric acid, sulphuric acid, formic acid, anhydrous monobasic sodium phosphate, ammonium molybdate were purchased from Synth (Diadema, Brazil). Trolox, 2,2'-azino-bis(3-ethylbenzothiazoline-6-sulphonic acid) (ABTS), vanillin, L-ascorbic acid, gallic acid, caffeine, theobromine, (+)(-) catechin (99%), (-) epicatechin ($\geq 97\%$), and (-) epicatechin gallate ($\geq 98\%$)) were obtained from Sigma-Aldrich (Darmstadt, Germany) and theophylline (97.50%) was obtained from Abbott (São Paulo, Brazil).

2.2 Experimental

The hydroalcoholic solutions were prepared in polyethylene tubes using five solvent formulations with varied ratios of ethanol:water (weight/weight), i.e., 100:0, 80:20, 65:35, 50:50 and 0:100. The cold maceration assays were carried out using a seed:solvent ratio of 1:3 (weight/weight) with subsequent vortex agitation (Fanem, Model 251, São Paulo, Brazil) of the tubes for 1 min. Afterwards, the samples were stored immobilized in the dark at 25°C for 24 h. On the next day, the samples were centrifuged (Heraeus, Megafuge 16 R, Thermo Scientific, Massachusetts, USA) at 2500 rpm and 25°C for 10 min. The supernatant (extract) was separated from the solid fraction and subsequently kept frozen (-4°C) prior to analysis.

2.3 Global yield

Global yield, or the total extractable material (Eq.1), consisted on the mass of

dried extract obtained by the removal of solvent.

$$X_0 = \left(\frac{m_{EXT}}{F_0} \right) \times 100 \quad (1)$$

Where X_0 is the global yield (g dried extract/100g raw coffee husks), m_{EXT} is the mass of dried extract obtained (g) and F_0 is the mass of raw material (g) used in the extractions.

2.4 Composition of extracts

2.4.1 Condensed tannins (CT)

The condensed tannins (CT) were determined mixing the diluted extracts with the vanillin (1:5, v/v) (PRICE et al., 1978). The calibration curve was plotted using catechin standard with concentration range between 0.1 and 5 mg/mL ($R^2=0.99$). The results were expressed as g catechin equivalent/100g extract.

2.4.2 Total phenolic content (TPC assay)

Total phenolic content (TPC) was determined with the Folin–Ciocalteu reagent (SINGLETON e ROSSI, 1965). A calibration curve using gallic acid was plotted in a concentration range of 16 – 700 µg /mL. The results were expressed as g of gallic acid equivalent (GAE)/ 100g extract.

2.4.3 Antioxidant capacity: Trolox equivalent antioxidant capacity (TEAC)

2.4.3.1 ABTS^{•+} assay

The Trolox equivalent antioxidant capacity (TEAC) was evaluated using the ABTS^{•+} free radical (OKI et al., 2006). The ABTS^{•+}solution was initially prepared by mixing 88 µL of 140 mM of aqueous sodium persulfate solution with 5 mL of 7 mM of aqueous solution of ABTS, which was stored in the dark at 25°C for 12-16 h and subsequently diluted 16 times in ethanol 100% for analysis.

The reaction consisted by mixing 20 µL of diluted extracts in 980 µL of diluted ABTS^{•+}. After 10 minutes of reaction 200 µL aliquots in triplicate were evaluated at 636 nm. The calibration curve using synthetic antioxidant Trolox was plotted (10 -2000 µM). Results were expressed in terms of µM TEAC per g of extract.

2.4.3.2 DPPH[•] assay

The of the extracts to scavenge the DPPH[•] free radical was evaluated by the

reaction between the 100 μ L aliquot of extract (diluted in methanol 70%) and 1 mL of DPPH solution (5 mg of DPPH diluted in 50 mL methanol 100%) for 30 min and detection at with absorbance filters for the wavelength of 515 nm. The results were calculated using the linear regression equation from plotting the concentrations of Trolox (15 - 300 μ mol/mL, $R^2 = 0.94$). The results were expressed as g Trolox equivalent/g extract (BRAND-WILLIAMS et al., 1995).

2.4.3.3 FRAP assay

The ferric reducing ability of plasma (FRAP) assay was conducted using the procedure described by BENZIE e STRAIN (1996). The FRAP reagent was prepared by mixing 25 mL 0.3 M acetate buffer (pH 3.6) with 2.5 mL TPTZ (0.01 M) and 2.5 mL $\text{FeCl}_3 \cdot 6\text{H}_2\text{O}$ (0.02 M) solutions. A calibration curve using Trolox (15-1500 μ mol/mL, $R^2 = 0.99$) was obtained, and the results were expressed as gTrolox equivalent/g extract.

2.4.4 Antioxidant capacity: Phosphomolybdenum (P-Mo) complex assay

The diluted extract were mixed P-Mo complex reagent at the 1:10 (v/v) ratio. The mixture was incubated at 95 °C for 60 min and immediately subjected to an ice bath to stop the reaction (PRIETO et al., 1999).

The ascorbic acid calibration curve (100 – 2100 mM/mL ; $R^2=0.98$) was plotted and results were expressed in terms of g Ascorbic Acid Equivalent per g of extract.

2.4.5 Total (TS) and Reducing sugars (RS)

The total (TS) and reducing sugars (RS) were determined using the DNS reagent (MILLER (1959)). The calibration curve was plotted using glucose standard in the concentrations ranging between 0.1 and 1 mg glucose/mL ($R^2=0.99$) and 0.5-6 mg hydrolyzed sucrose/mL ($R^2=0.99$) and results were expressed as g sucrose/100g extract (total sugars) and g glucose/100g extract (reducing sugars).

2.4.6 Determination of catechins and methylxanthines

High-performance liquid chromatography coupled with diode array detector (HPLC-DAD) was used to detect methylxanthines (caffeine, theobromine and theophylline) and catechins (catechin, epicatechin and epicatechin gallate) in guarana extracts according to procedures determined previously (SANTANA e MACEDO, 2019). All analytical procedures were performed in triplicate and results were expressed in wet basis.

2.5 Statistical evaluation

The results were expressed as the mean \pm standard deviation. All measurements were performed in triplicate and evaluated using the analysis of variance (Tukey test, $p \leq 0.05$), with Statistica 8 software.

3 | RESULTS AND DISCUSSION

Highest extraction yield was found in the extracts obtained with ethanol 50% (Fig.2D), which was correlated with the total phenolic content (TPC) and condensed tannins (CT), results. The highest proportions of total (TS) and reducing sugars (RS), were attributed to the 65% hydroethanolic extract (Table 1). The TPC (2.33-3.28 gGAE/100g extract or 0.78-1.09 gGAE/100g coffee husks, Table 1) values are in accordance with those obtained to cold hydroalcoholic extraction of crude guarana seeds (SANTANA e MACEDO, 2019).

The addition of water in ethanolic solutions has been associated with increased selectivity to extract phenolic compounds because of enhanced polarity of solvent, similarly to the recovery of phenolic compounds from orange peel (BARRALES et al., 2018) and propolis (SUN et al., 2015).

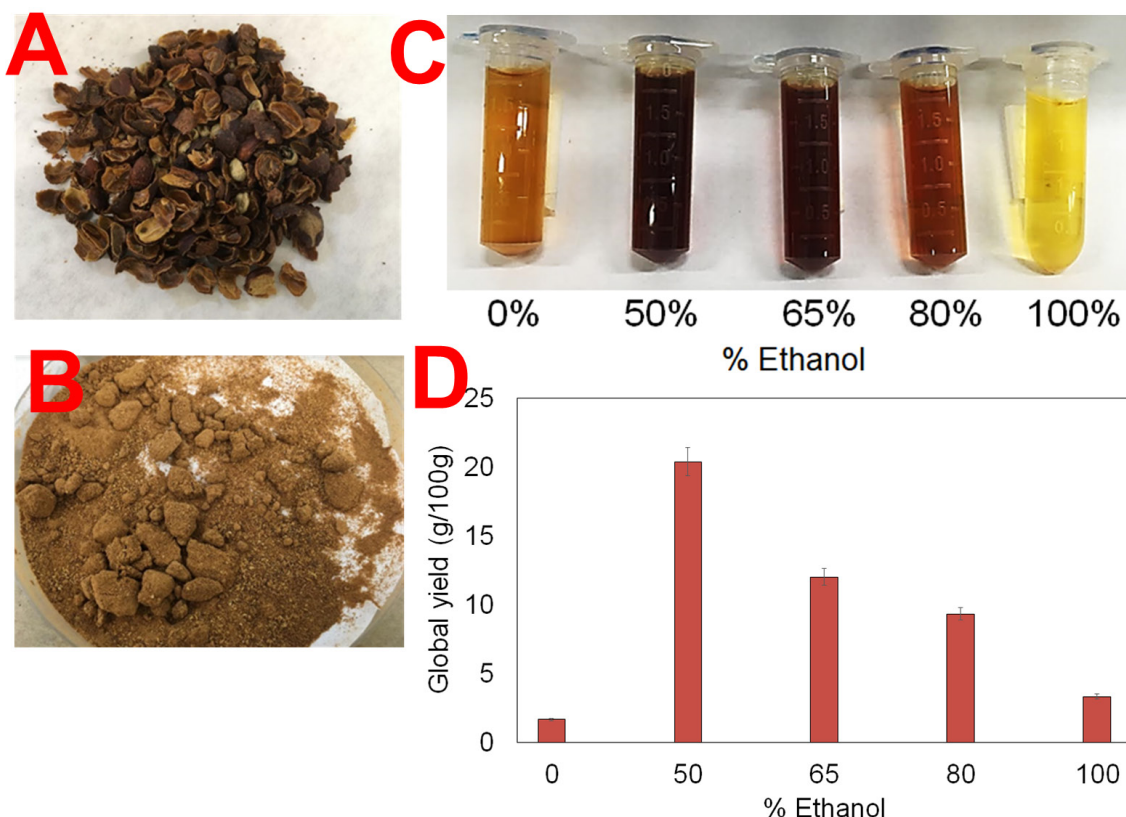


Figure 1. Whole (A) and milled (B) coffee husks, extracts (C) and global yield (D).

% Ethanol	TPC	CT	RS	TS
	gGAE/100g ext	g cat eq/100g	g gluc/100g ext	g sucr/100g ext
0	2.51±1.27 ^a	0.50±0.06 ^a	0.03±0 ^a	0.21±0 ^a
50	3.28±1.77 ^b	1.25±0.04 ^b	2.65±0.15 ^b	0.56±0.03 ^b
65	3.14±7.08 ^b	1.05±0.03 ^b	2.81±0.22 ^b	0.59±0.05 ^b
80	2.64±1.96 ^c	1.21±0.04 ^b	1.96±0.13 ^c	0.41±0.03 ^c
100	2.33±8.07 ^c	0.63±0.12 ^a	1.17±0.05 ^d	0.24±0.01 ^a

Table 1. The chemical composition of coffee husks extracts.

Mean ± standard deviation of determinations. Different letters in the same column indicate significant difference related to the effects of process parameters.

TPC – Total phenolic content, CT – condensed tannins, RS – reducing sugars, TS – total sugars

The values of TPC detected (2.33-3.28 gGAE100g ext, Table 1) were higher than those detected aqueous extracts of coffee husks (NEVES et al., 2019), and comparable or even lower than those obtained by hydroalcoholic extraction of coffee husks assisted with ultrasound, probably because of the highest exposure to acoustic cavitations that maximized the extraction of target compounds (RIBEIRO et al., 2019). On the other hand, the antioxidant capacity of extracts considering the DPPH assay ($0.43\text{-}3.48\times10^3$ gTrolox eq/g extract or $0.14\text{-}1.16\times10^3$ gTrolox eq/g coffee husks – Table 2) were higher than the previous mentioned work, and the values detected by the FRAP assay were comparable. High ultrasonic frequencies induce the degradation of antioxidants, because of excessive temperature induced by high energy density (MEDINA-TORRES et al., 2017).

% Ethanol	P-Mo		FRAP	DPPH	ABTS
	g Asc.Acid eq/g ext	g Trolox eq/g ext			
0	502.33±11.06 ^a	13.90±0.05 ^a	1.73×10 ³ ±8.77×10 ³ ^a	1.26±34.50 ^a	
50	2692.37±21.23 ^b	54.94±0.02 ^b	3.48×10 ³ ±0.64×10 ³ ^b	2.88±11.28 ^b	
65	2704.03±57.21 ^c	46.87±0.06 ^c	3.19×10 ³ ±0.74×10 ³ ^b	4.33±4.66 ^c	
80	670.11±3.11 ^d	37.16±0.01 ^d	0.43×10 ³ ±1.69×10 ³ ^c	3.12±71.47 ^d	
100	426.81±4.45 ^e	16.47±0.03 ^e	3.03×10 ³ ±4.18×10 ³ ^b	0.98±38.31 ^e	

Table 2. The antioxidant capacity of coffee husks extracts.

Mean ± standard deviation of determinations. Different letters in the same column indicate significant difference related to the effects of process parameters.

The condensed tannins (0.5-1.21 g catechin eq./100g extract or 0.16-0.40 g catechin eq./100g coffee husks – Table 1) detected in this work were next to those detected in the hydromethanolic extracts of leaves and flowers of *Erodium glaucophyllum* (BAKARI et al., 2018).

The highest proportion of these substances was attributed to the 50% hydroethanolic solution, similarly to those reported in literature for guarana (SANTANA

e MACEDO, 2019) and *F. benghalensis* Linn. (BHANWASE e ALAGAWADI, 2016). Unidentified small peaks were found in the chromatograms of the hydroethanolic extracts composed of 50, 65, 80% and 100% ethanol (Figure 2. B, C D and E).

For the catechins and methylxanthines, only catechin, caffeine and theophylline were detected in relevant content (Figure 2, Table 3). The epicatechin, epicatechin gallate, and theobromine were detected as traces, under the limit detection from the method and equipment used.

The behavior of antioxidant capacity was similar to the target compounds detected considering the highest proportions attributed to the extracts with 50% and 65% ethanol. However, considering the ABTS and P-Mo assay, the extracts with 65% ethanol showed highest antioxidant capacity than the 50% ethanol (Table 3).

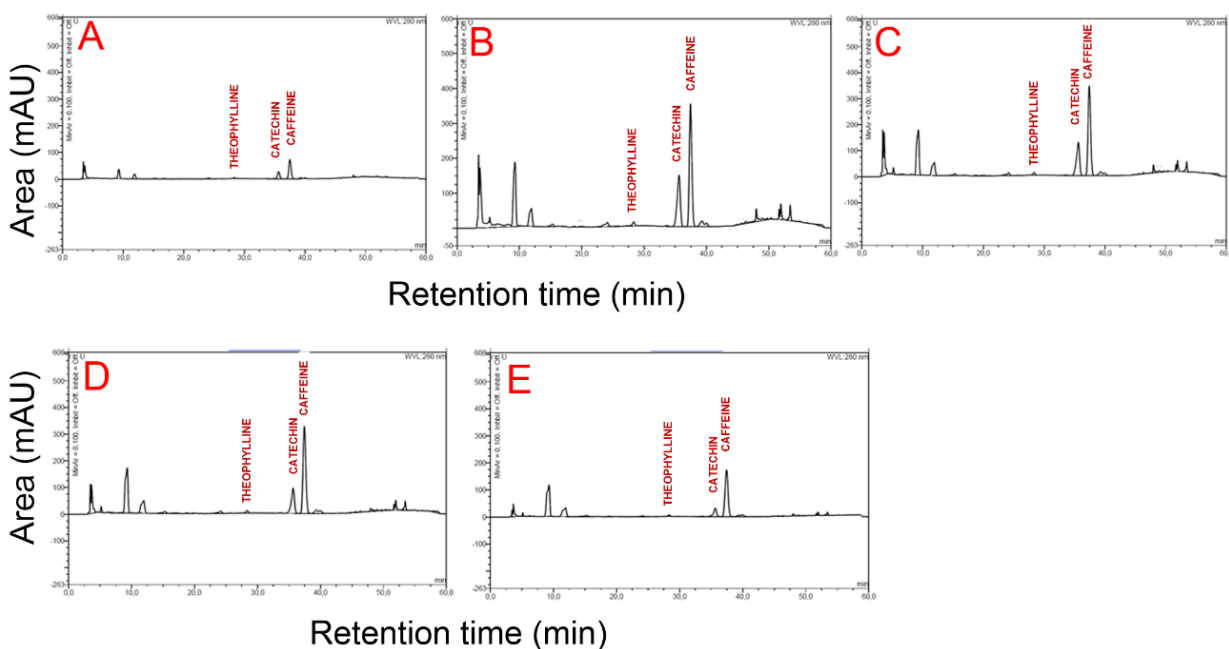


Figure 2. Chromatograms of coffee husks extracts obtained with cold hydroethanolic extraction with ethanol concentrations of: 0% (A), 50% (B), 65% (C), 80% (D) and 100% (E).

% Ethanol	CAT	CAF	TPh
0	3.48±0.01 ^a	1.29±0 ^a	0.84±0 ^a
50	28.39±0.36 ^b	7.41±0.08 ^b	1.42±0.07 ^b
65	23.09±0.05 ^c	6.99±0.01 ^c	1.31±0.07 ^c
80	16.13±0 ^d	6.91±0 ^c	1.21±0 ^d
100	5.19±0.04 ^e	3.85±0.02 ^d	1.00±0.01 ^e

Table 3. The catechin and methylxanthines (g/100g extract) detected in coffee husks extracts.

Mean ± standard deviation of determinations. Different letters in the same column indicate significant difference related to the effects of process parameters ($p \leq 0.05$).

CAT – catechin, , CAF – caffeine, TPh – theophylline.

CONCLUSIONS

A simple, low cost and environmentally-friendly process was able to obtain extracts with an attractive composition in terms of polyphenols, sugars and alkaloids. Coffee husks could be reused as a low cost ingredient for industry applications, reducing the plant waste emission. Our results support further studies on the impact of coffee husks in health and food products.

REFERENCES

- AL-YOUSEF, H. M. ; AMINA, M. Essential oil of Coffee arabica L. Husks: A brilliant source of antimicrobial and antioxidant Agents. v., n., 2018.
- BAKARI, S.; HAJLAOUI, H.; DAOUD, A.; MIGHRI, H.; ROSS-GARCIA, J. M.; GHARSALLAH, N. ; KADRI, A. Phytochemicals, antioxidant and antimicrobial potentials and LC-MS analysis of hydroalcoholic extracts of leaves and flowers of Erodium glaucophyllum collected from Tunisian Sahara. **Food Science and Technology**, v. 38, n. p. 310-317, 2018.
- BARRALES, F. M.; SILVEIRA, P.; BARBOSA, P. D. P. M.; RUVIARO, A. R.; PAULINO, B. N.; PASTORE, G. M.; MACEDO, G. A. ; MARTINEZ, J. Recovery of phenolic compounds from citrus by-products using pressurized liquids — An application to orange peel. **Food and Bioproducts Processing**, v. 112, n. p. 9-21, 2018.
- BENZIE, I. F. F. ; STRAIN, J. J. The Ferric Reducing Ability of Plasma (FRAP) as a Measure of "Antioxidant Power": The FRAP Assay. **Analytic Biochem**, v. 239, n. 1, p. 70-76, 1996.
- BHANWASE, A. S. ; ALAGAWADI, K. R. Antioxidant and Immunomodulatory Activity of Hydroalcoholic Extract and its Fractions of Leaves of Ficus benghalensis Linn. **Pharmacognosy research**, v. 8, n. 1, p. 50-55, 2016.
- BRAND-WILLIAMS, W.; CUVELIER, A. E. ; BERSET, C. Use of a free radical method to evaluate antioxidant activity. **LWT - Food Sci Tech**, v. 28, n. 1, p. 25-30, 1995.
- CATALÁN, E.; KOMILIS, D. ; SÁNCHEZ, A. Environmental impact of cellulase production from coffee husks by solid-state fermentation: A life-cycle assessment. **Journal of Cleaner Production**, v., n., 2019.
- COLLAZO-BIGLIARDI, S.; ORTEGA-TORO, R. ; CHIRALT BOIX, A. Reinforcement of thermoplastic starch films with cellulose fibres obtained from rice and coffee husks. **Journal of Renewable Materials**, v. 6, n. 6, p. 599-610, 2018.
- DOS SANTOS, L. C.; ADARME, O. F. H.; BAÊTA, B. E. L.; GURGEL, L. V. A. ; DE AQUINO, S. F. Production of biogas (methane and hydrogen) from anaerobic digestion of hemicellulosic hydrolysate generated in the oxidative pretreatment of coffee husks. **Bioresource technology**, v. 263, n. p. 601-612, 2018.
- HERNANDEZ RODRIGUEZ, M.; YPERMAN, J.; CARLEER, R.; MAGGEN, J.; VANDERHEYDEN, S.; FALCON HERNANDEZ, J.; OTERO CALVIS, A. ; GRYGLEWICZ, G. Evaluation of activation parameters of activated carbon from coffee and cocoa seed husk rests: carbon yields and Ni (II) adsorption capacity study. v., n., 2018.
- MEDINA-TORRES, N.; AYORA-TALAVERA, T.; ESPINOSA-ANDREWS, H.; SÁNCHEZ-CONTRERAS, A. ; PACHECO, N. Ultrasound Assisted Extraction for the Recovery of Phenolic Compounds from Vegetable Sources. **Agronomy**, v. 7, n. 3, p. 47, 2017.

MILLER, G. L. Use of dinitrosalicylic acid reagent for determination of reducing sugar. **Anal. Chem.**, v. 31, n. p. 426-428, 1959.

NEVES, J. V. G. D.; BORGES, M. V.; SILVA, D. D. M.; LEITE, C. X. D. S.; SANTOS, M. R. C.; LANNEZ, S. C. D. S. ; SILVA, M. V. D. Total phenolic content and primary antioxidant capacity of aqueous extracts of coffee husk: chemical evaluation and beverage development. **Food Science and Technology**, v. 39, n. p. 348-353, 2019.

OKI, T.; NAGAI, S.; YOSHINAGA, M.; NISHIBA, Y. ; SUDA, I. **Contribution of beta carotene to radical scavenging capacity varies among orange-fleshed sweet potato cultivars**, 2006.

PRICE, M. L.; VAN SCYOC, S. ; BUTLER, L. G. A critical evaluation of the vanillin reaction as an assay for tannin in sorghum. **Journal of Agriculture and Food Chemistry**, v. 26, n. 5, p. 1214-1218, 1978.

PRIETO, P.; PINEDA, M. ; AGUILAR, M. Spectrophotometric Quantitation of Antioxidant Capacity through the Formation of a Phosphomolybdenum Complex: Specific Application to the Determination of Vitamin E. **Analytical Biochemistry**, v. 269, n. 2, p. 337-341, 1999.

RIBEIRO, E. F.; LUZIA, D. M. M. ; JORGE, N. Antioxidant compounds extraction from coffee husks: the influence of solvent type and ultrasound exposure time. **Acta Scientiarum. Technology**, v. 41, n. p. e36451, 2019.

SANTANA, Á. L. ; MACEDO, G. A. Effects of hydroalcoholic and enzyme-assisted extraction processes on the recovery of catechins and methylxanthines from crude and waste seeds of guarana (*Paullinia cupana*). **Food Chem**, v. 281, n. p. 222-230, 2019.

SINGLETON, V. L. ; ROSSI, J. A. J. Colorimetry of total phenolics with phosphomolybdic-phosphotungstic acid reagents. **Am J Enol Vitic**, v. 16, n. p. 144-158, 1965.

SUN, C.; WU, Z.; WANG, Z. ; ZHANG, H. Effect of Ethanol/Water Solvents on Phenolic Profiles and Antioxidant Properties of Beijing Propolis Extracts. **Evidence-Based Complementary and Alternative Medicine**, v. 2015, n. p. 9, 2015.

ŠVARC-GAJIĆ, J.; CVETANOVIĆ, A.; SEGURA-CARRETERO, A.; MAŠKOVIĆ, P. ; JAKŠIĆ, A. Functional coffee substitute prepared from ginger by subcritical water. **The Journal of Supercritical Fluids**, v. 128, n. p. 32-38, 2017.

WU, T. ; CADWALLADER, K. R. Identification of Characterizing Aroma Components of Roasted Chicory "Coffee" Brews. **Journal of agricultural and food chemistry**, v., n., 2019.

SOBRE AS ORGANIZADORAS

VANESSA BORDIN VIERA bacharel e licenciada em Nutrição pelo Centro Universitário Franciscano (UNIFRA). Mestre e Doutora em Ciência e Tecnologia de Alimentos pela Universidade Federal de Santa Maria (UFSM). Docente do Curso de Nutrição e da Pós-Graduação em Ciências Naturais e Biotecnologia da Universidade Federal de Campina Grande (UFCG). Editora da subárea de Ciência e Tecnologia de Alimentos do *Journal of bioenergy and food science*. Líder do Grupo de Pesquisa em Ciência e Tecnologia de Alimentos da UFCG. Possui experiência com o desenvolvimento de pesquisas na área de antioxidantes, desenvolvimento de novos produtos, análise sensorial e utilização de tecnologia limpas.

NATIÉLI PIOVESAN Docente no Instituto Federal do Rio Grande do Norte (IFRN), graduada em Química Industrial e Tecnologia em Alimentos, pela Universidade Federal de Santa Maria (UFSM). Possui graduação no Programa Especial de Formação de Professores para a Educação Profissional. Mestre e Doutora em Ciência e Tecnologia de Alimentos pela Universidade Federal de Santa Maria (UFSM). Atua principalmente com o desenvolvimento de pesquisas na área de antioxidantes naturais, desenvolvimento de novos produtos e análise sensorial.

ÍNDICE REMISSIVO

A

- Abelhas sociais 1
Ácido graxo 85, 232
Alelopácia 99
Alimento funcional 6
Análise de qualidade 1
Análise físico-química 90
Análises microbiológicas 8, 30, 36, 40, 42, 61, 62, 64, 80, 82, 203
Antioxidantes 6, 11, 14, 108, 110, 113, 115, 140, 152, 154, 172, 174, 175, 177, 178, 179, 180, 188, 193, 194, 200, 202, 228, 319
Antropoentomofagia 77, 78
Atividade antioxidante 90
Atividade de água 1, 2, 33, 36, 38, 39, 40, 41, 45, 46, 47, 48, 49, 50, 51, 53, 54, 55, 56, 57, 65, 71, 85, 86, 87, 88, 118, 123, 124, 163, 165
Avaliação 4, 5, 6, 8, 9, 10, 11, 13, 15, 16, 17, 26, 27, 34, 35, 36, 40, 43, 45, 53, 54, 55, 57, 59, 69, 73, 85, 86, 101, 124, 126, 142, 158, 170, 172, 177, 179, 200, 203, 206, 207, 211, 216, 223, 230, 242, 243, 244, 245, 246, 247, 248, 276, 288, 293, 317, 318
Azeitona 85, 86, 87, 88

C

- Café instantâneo 54
Coconut sprout 18, 19, 21, 22, 23
Cogumelo do sol 6, 7, 16, 158
Cogumelos medicinais 6, 11
Compostos bioativos 99, 160, 188, 189, 190, 195, 203
Contaminação microbiológica 27, 42, 84, 200

E

- Efeito antimicrobiano 6, 13, 15, 210, 214
Espinha em Y 59

F

- Farinha 46, 65, 66, 68, 69, 70, 71, 72, 73, 74, 75, 80, 81, 126, 197, 198, 200, 202, 203, 206, 240
Fenólicos 11, 96, 108, 109, 110, 111, 112, 113, 172, 174, 176, 177, 178, 179, 180, 188, 191, 192, 193, 194, 200, 201, 202, 205
Flor comestível 108

H

Hidroximetilfurfural 1, 2, 4

I

Impacto ambiental 59, 60, 204

L

Lactobacilli 18, 19, 20, 21, 22, 23, 316

M

Microbiologia 15, 16, 17, 23, 24, 29, 34, 43, 44, 45, 49, 52, 53, 61, 80, 138, 216

Morango 90

Musa spp 117, 119

O

Ômega 77, 81

Orgânico 90, 97, 188, 189

P

Pereskia aculeata 65, 66, 67, 68, 70, 71, 72, 73, 74, 75, 115

Plantas medicinais 16, 105, 108, 179, 195

Pós colheita 117

Produtos naturais 7, 99, 108, 109, 173

Propriedades tecnológicas 65, 66, 71, 205

Proteína 17, 69, 72, 77, 78, 79, 80, 81, 83, 142, 154, 169, 187, 199, 200, 204, 237, 239, 240, 242, 243, 244, 245, 246, 247, 248

Q

Qualidade alimentar 36

Queijo colonial 26, 27, 29, 30, 32, 33, 34

R

Rosa x grandiflora Hort. 108, 109, 110

S

Secagem 10, 52, 54, 56, 57, 65, 69, 71, 80, 111, 118, 119, 124, 125, 126, 127, 166, 174, 199, 207, 293

Segurança alimentar 34, 43, 59, 77, 83, 117, 124, 126

Spray-dryer 54, 316

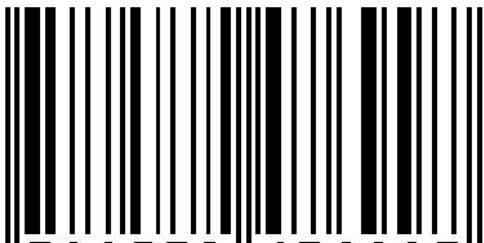
Sustentabilidade 59

T

- Tangerina 90
- Tecnologia de alimentos 33, 43, 44, 54, 76, 85, 96, 97, 114, 117, 125, 126, 127, 170, 171, 206, 207, 208, 228, 249, 317, 319
- Teste acelerado 45
- Timol 98, 99, 103, 104, 105

Agência Brasileira do ISBN

ISBN 978-85-7247-699-7



9 788572 476997